

北大工 森 明 亘  
北大工 岸 力

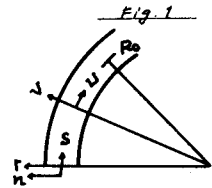
はじめに。著者らは、<sup>(1), (2)</sup> 前報において二次流によるモーメンタム輸送が河曲部の流量分布に大きな影響を与えることを数値実験により示した。本研究ではこれを理論的に示す。また、自然河川において、前報<sup>(1)</sup>で導いた弯曲流の型を予測するパラメータ  $P_f$  を求め、流れのパラメータと対応を調べる。

### 1. 流れの基礎方程式

座標系を図-1の様に取り、深さ方向に平均化されたS方向の運動方程式を(1)式で与える。

$$\frac{1}{2} \frac{\partial U^2}{\partial S} + \frac{f}{h_0} \frac{U^2}{h_0} f = -g \frac{\partial U}{\partial S} - \frac{h}{h_0 h} \frac{\partial X}{\partial T} \quad (1)$$

ここで、 $h$ :水深、 $r$ :曲率半径、 $f = (U_{\infty}/U)^2$ 、 $U_{\infty}$ :摩擦速度、 $s$ :水位、添字0:水路中央での値を示す。 $X$ は(3)式で定義される二次流によるモーメンタム輸送関数である。 $X$ は(2)式を仮定する。



$$X = \int_{s=0}^{s=\text{曲}} [U(s)-U] \cdot [U(s)-V] ds \quad (2)$$

$$X = \tilde{X} \cdot G \cdot \cos \frac{\pi n}{B}, \quad \tilde{X} = [k s n \left( \frac{h U_0}{r} \right)]_{T=T_0}, \quad G = 1 + \left( \frac{X_0}{\tilde{X}} - 1 \right) e^{-c \frac{\tilde{X}}{h}} \quad (3)$$

(記号の詳細は著者文献(1)又(2)を参照して欲しける)著者ら<sup>(3)</sup>は、弯曲流の数値計算に(3)式を用いて良好な結果を得てゐる。式(3)と(4)式を手並み、(2), (4)式を(1)式に代入する。得られた式をTに偏微分し、 $T=T_0$ とする

$$\frac{dX}{dT} = -I_0 S + \alpha(S) n \frac{U_0^2}{g r_0} \quad (4)$$

(4)式を整理し  $(U/h f)_{T=T_0} = g I_0$  と仮定すると(5)式が得られる。

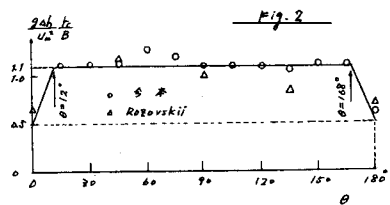
$$\frac{1}{2} \frac{\partial D_S}{\partial S} + f_0 D_S = -1 - \frac{\partial \alpha}{\partial S} / f_0 + P_f^2 G \quad (5)$$

$$\therefore D_S = \frac{h_0}{U_0^2} \left( \frac{\partial U^2}{\partial T} \right)_{T=T_0}, \quad S_S = \frac{S}{h_0}, \quad P_f = \sqrt{k n} \pi g_0 \frac{h_0}{B} \quad (6)$$

$\frac{\partial \alpha}{\partial S_S} = \text{constant}$ 。Lと(5)式を解き  $S_S = 0$  のとき  $D_S = D_{S0}$  とおき  $\alpha < 0$  と  $D_S$  は(7)式で表される。

$$D_S = Z(S_S) + [D_{S0} - Z(S_S=0)] e^{-2f_0 S_S} \quad \left. \begin{aligned} Z = \left[ P_f^2 \left( 1 + \frac{X_0 \tilde{X} - 1}{1 - c \tilde{X}} e^{-c \tilde{X}} \right) - 1 - \frac{\partial \alpha}{\partial S} / f \right] / f \end{aligned} \right\} \quad (7)$$

(3), (4), (7)式における  $\alpha$ ,  $D_{S0}$ ,  $X_0$  を次のように与える。図-2は今本ら<sup>(4)</sup>及びRozovskii<sup>(5)</sup>による弯曲流実験での左右岸の水位差の実測値を示したものである。 $\alpha$ を図中の実線で近似する。弯曲部の入口ヒゲリで、左右岸の水位差と速度水頭の差が等しいもととすると  $D_{S0} = -f_0^{-1}$ 。また、弯曲部の入口ヒゲリで二次流の強度が0となると  $X_0 = 0$  である。



## 2. 理論と実験の比較

この複数の実験水路は、總て、横断面形は矩形であり、一様曲率弯曲部の前後に直線部が接続されている。

図-3に今本<sup>(4)</sup>による水路実験での汀線測定値(○印)と(7)式から求まる理論値(実線)を比較を示した。図から両者の傾向が良い一致していることがわかる。図中の破線は二次流の効果を無視した場合の解であるが、この解では、実測値に反して強制渦としてはならぬ。この計算例から、二次流が弯曲流の流速分布に与える効果の大さいことがわかる。

表-1は、村本<sup>(5)</sup>の実験における  $D_f < 0$  及び  $D_f > 0$  の範囲の実測値と、 $D_f = 0$  の角度の理論値の比較を示したものである。表から両者がほぼ同程度であることがわかる。二次流の効果を無視するより總ての RUN の全直角で、図-2の計算例と同様に  $D_f < 0$  であった。

## 3. S56.8 石狩川河水の弯曲流のパラメータ $P_f$ の関係

上記改水の航空写真の撮影及び解析が北海道開拓局石狩川開拓建設部(カヂナ航測株)により実施された。図-4は同資料より計算された  $P_f$  を河口からの距離を横軸に取って示したものである。長谷川<sup>(6)</sup>は、上記写真から弯曲部の流れのパラメータを判別し、図-4中の実線矢印部では強制渦、墨線矢印部では自由渦であるとした。

(7)式において、 $\alpha = 0$ 、 $S_f \rightarrow \infty$  のときの  $D_f$  を  $\hat{D}_f$  とおくと  $\hat{D}_f = -8 = (P_f^2 - 1)/2f$  であるから  $P_f$  に対するパラメータが予測でき、 $P_f = 1$  が境界値となる。図-4からこの方法により自由渦と強制渦の明確な区分を示すのがわかる。

考察。 以上の理論と実測値の比較から二次流が弯曲流に与える効果の大きさは二つある。

図-3の  $\theta > 120^\circ$  の  $D_f$  の理論値は実測値よりかなり大きい。著者ら<sup>(2), (7)</sup> 及び村本<sup>(5)</sup>は二次流が弯道ほど主流との間に相互干渉が起り二次流が弱められるとして指摘している。この作用は  $D_f$  が大きいほど強く<sup>(7)</sup> だが、本理論ではこの効果を考慮していないために理論値が実測値より下まく行ったものと思う。

$P_f$  には、2流体のパラメータを予測する場合に必要とする弯曲部流路長を次に算出する。自然河川では  $C_f = 2$  である場合が多いが  $C_f = 1$  とする。すなはち  $\alpha = 0$ 、 $D_{\text{free}} = -8$  とし  $D_f = 0$  とすれば距離を  $S_{\text{free}}$  とおくと、 $S_{\text{free}} = C_f^2/af$  となる。表-1の実験例につき  $S_{\text{free}}$  を計算すると計算値は実測値の2~3倍となり充分な距離を与えるものと思われる。 $f = 2^\circ$ 、石狩川につき  $S_{\text{free}}$  を計算すると、 $S_{\text{free}}$  は弯曲部流路長とほぼ同程度になり、流路長に因る  $P_f$  の作用が有効であることを判断した。

ところで、自然河川の流路形状は複雑であり  $X$  や  $f$  が流れに種々に作用する。現在、この種の流れに関する理論解析が盛んであるが、二本目には二次流の効果を加え、諸要素が流れに与える作用の強度を明瞭にすることは必要であると考える。

## 参考文献

- 1) 2), 7) 森、岸、他；水講'82、'83年、土木学会道支部会年
- 2) 今本地；京大防災研究報'82年 5) 村本地；同上'66年
- 4) Rozovskii； Israel Program '61年 6) 長谷川；S56.8 北海道轟雨災害に関する調査研究(地質調査研究会) '82

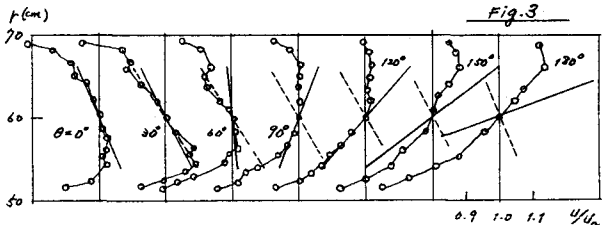


Fig. 3

No	r <sub>c</sub>	弯曲角	P <sub>f</sub>	D <sub>f</sub> < 0	D <sub>f</sub> > 0	D <sub>f</sub> = 0
I-1	25	90°	10.1	0~90°		81°
I-2	75		10.0	0~60	90	47
II-1	75		3.50	0~150	180	105
II-2	75	180°	4.7	0~150	180	123
II-3	150		3.5	0~60	10~180	49
II-4	150		4.0	0~30	60~180	72
III-1	150	90°	3.5	0~45	60~90	57
III-2	150	90°	3.5	0~45	60~90	39

table 1

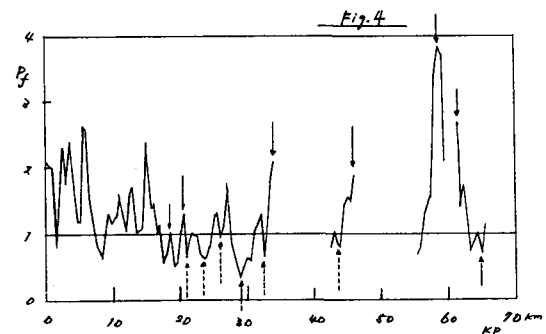


Fig. 4